



Источники тяжелых ионов

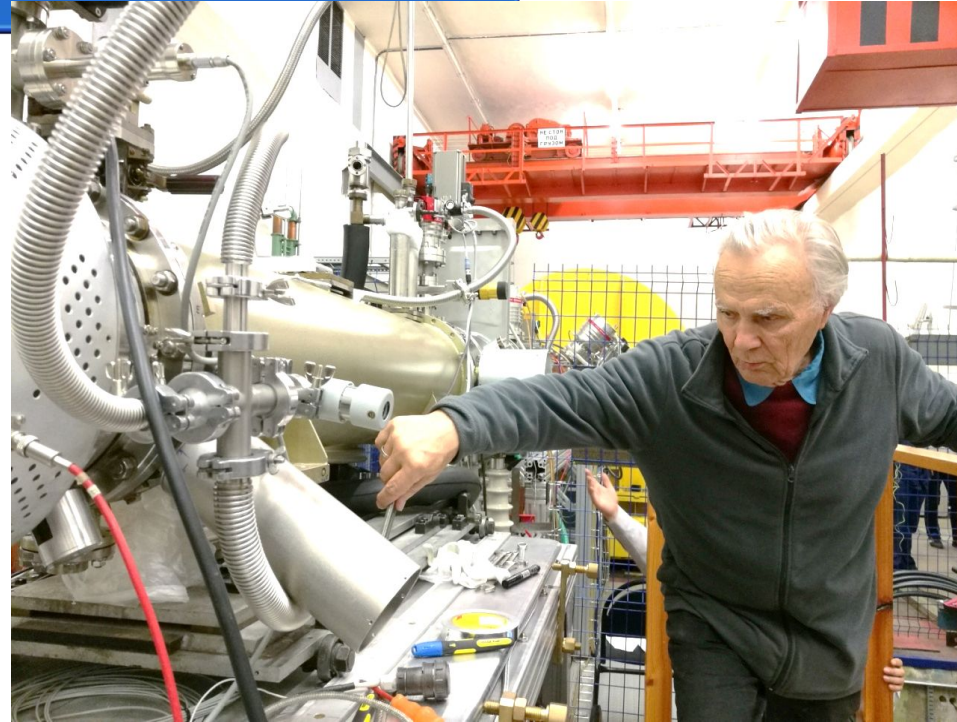
Бойцов А.Ю.

Content

- Необходимость создания
- История создания
- Действующие источники
- Принципиальная схема
- Основные узлы

История создания

- Invented by E.D. Donets at JINR, Dubna in 1968. Au¹⁹⁺ beam in 1969.
- 1970-1985, in Dubna, cryogenic version of EBIS KRION-I,2, bare ions C, N, O, Ne, Ar, Kr, Xe. HCI physics begins.
- 1970-1985, Europe, US, Japan, a lot of EBIS (*EBIS time*), U⁹⁰⁺!
- 1982, at Bekerley, EBIT, from EBIS, 1990s, SuperEBIT, U⁹²⁺!
- Since 1985, in accelerator fields, ECRIS time
- 2001-2005, breakthrough of EBIS at JINR, new idea of ESIS, and high current EBIS at BNL.

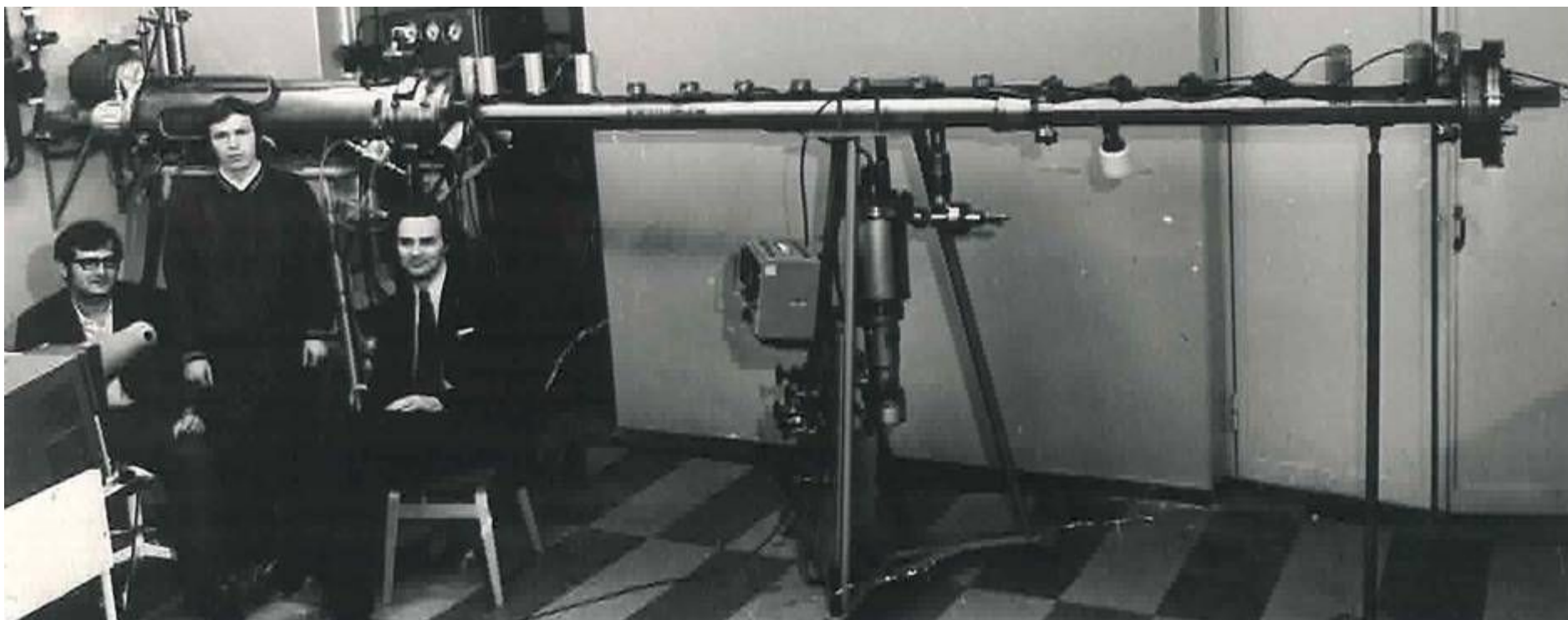


Prof. E.D. Donets near Krypton-6T ESIS during Nuclotron run #55, JINR, Dubna, February 2018

Синхрофазотрон



Крион-2 1976г.



KRION-2 equipped with time-of-flight mass-spectrometer. V.P. Ovsyannikov, V.V. Salnikov and E.D. Donets (from left to right) - 1976

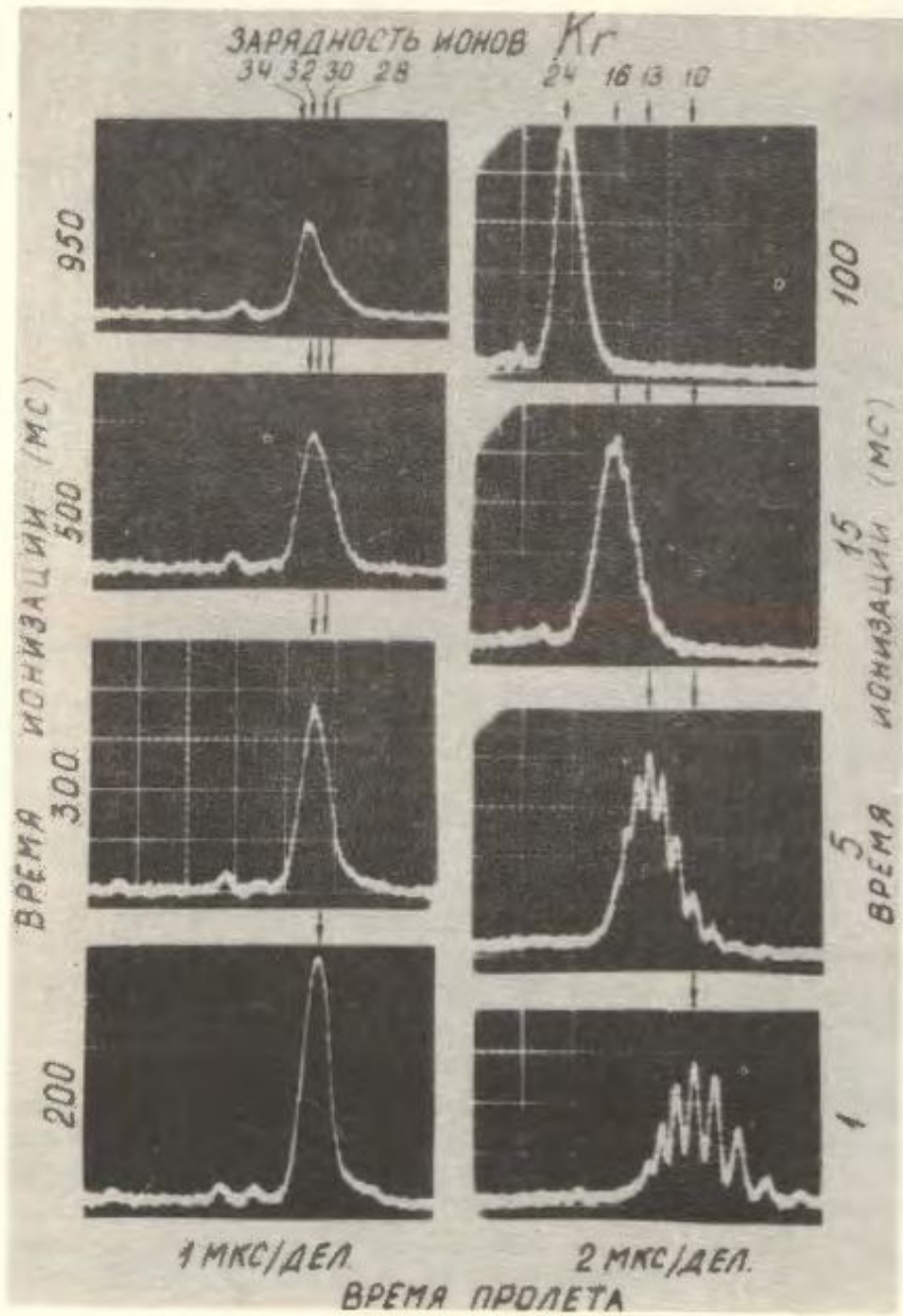


Рис.1. Эволюция спектра зарядностей ионов криптона.

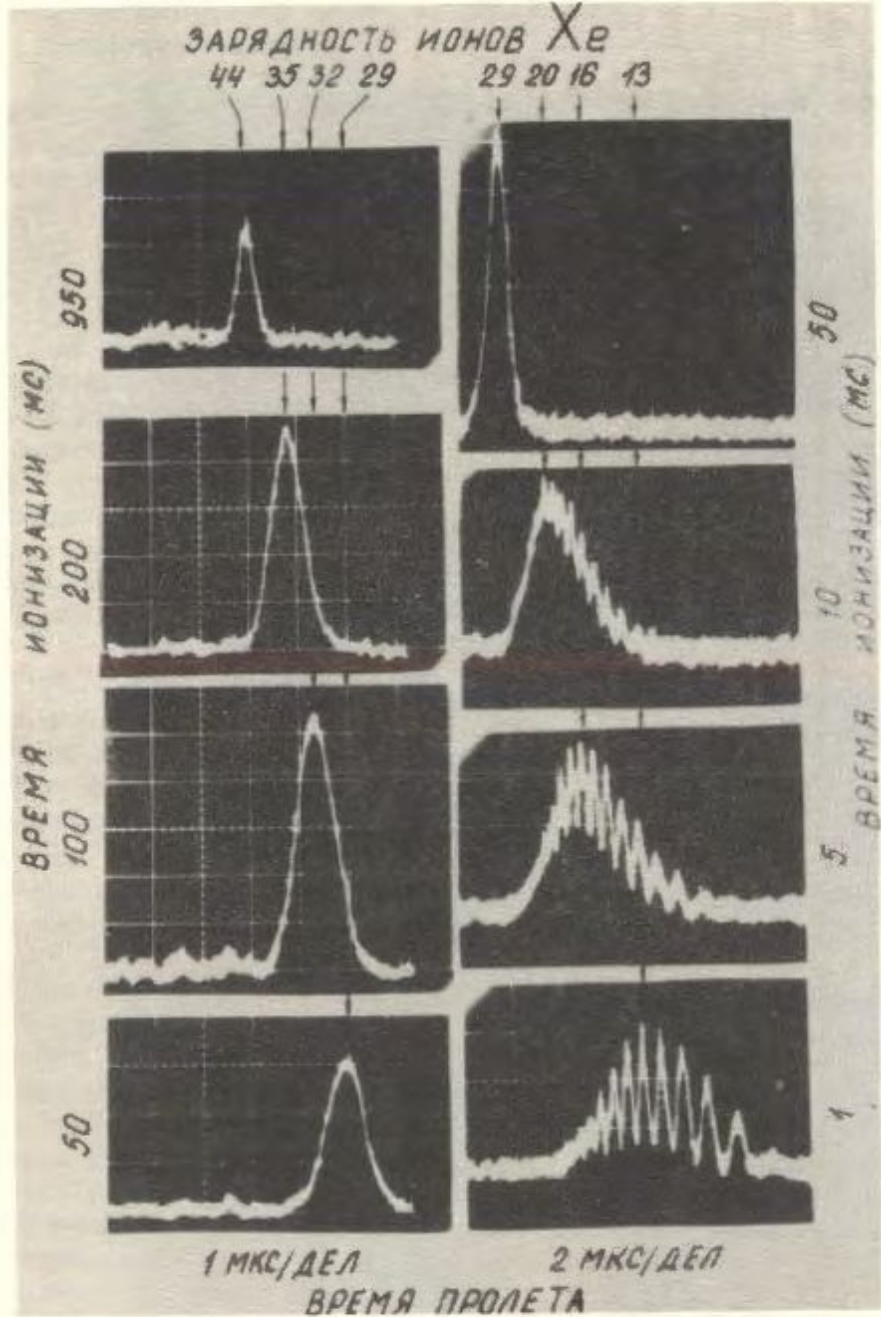


Рис.2. Эволюция спектра зарядностей ионов ксенона.

Нуклотрон



Крион-2 2010г



Рис. 1.4. Установка источника «Крион-2» на высоковольтном терминале ЛУ-20

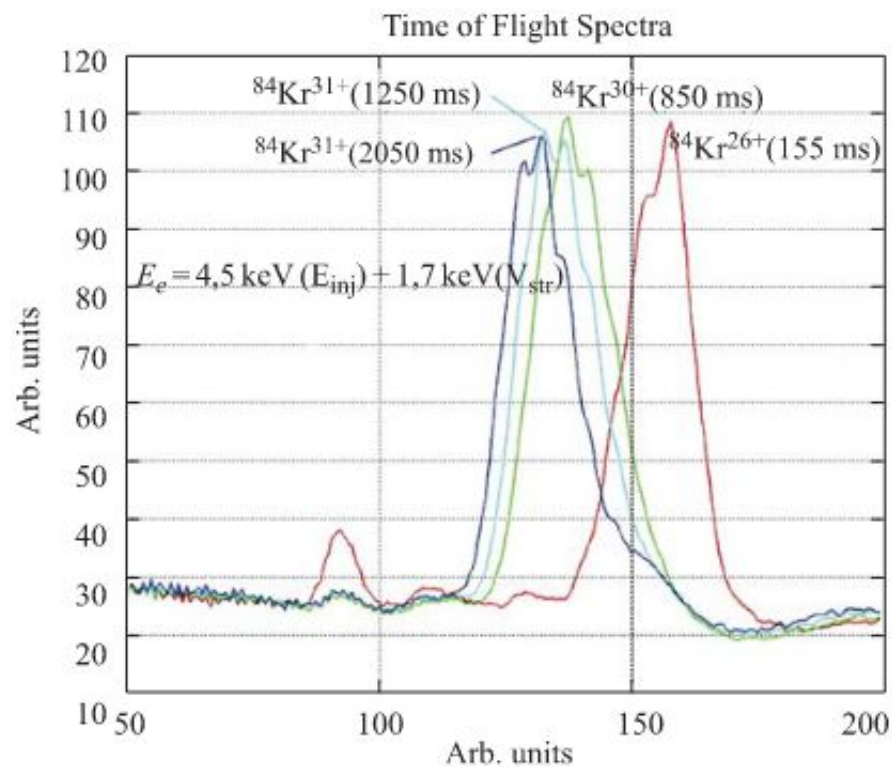
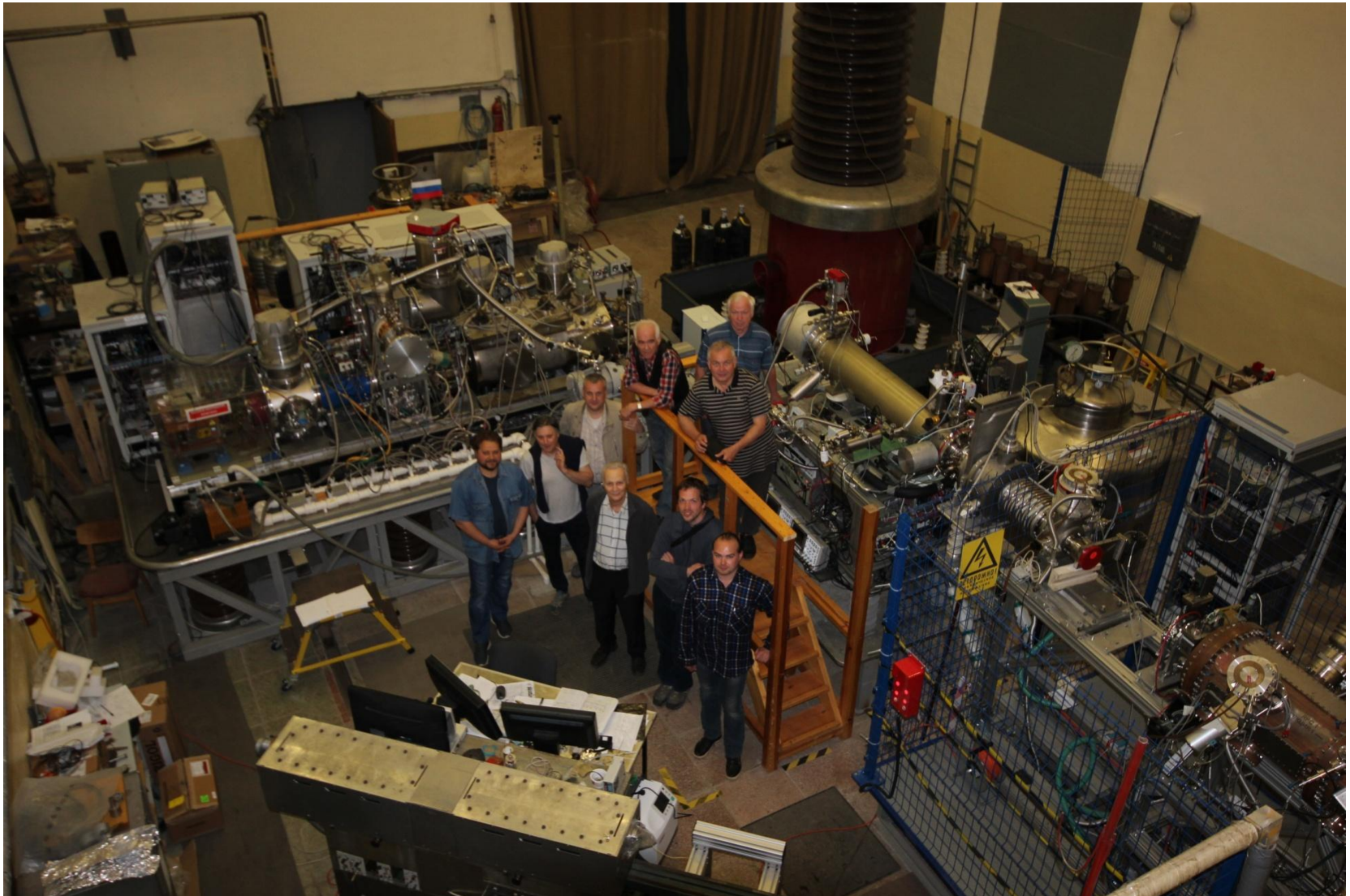
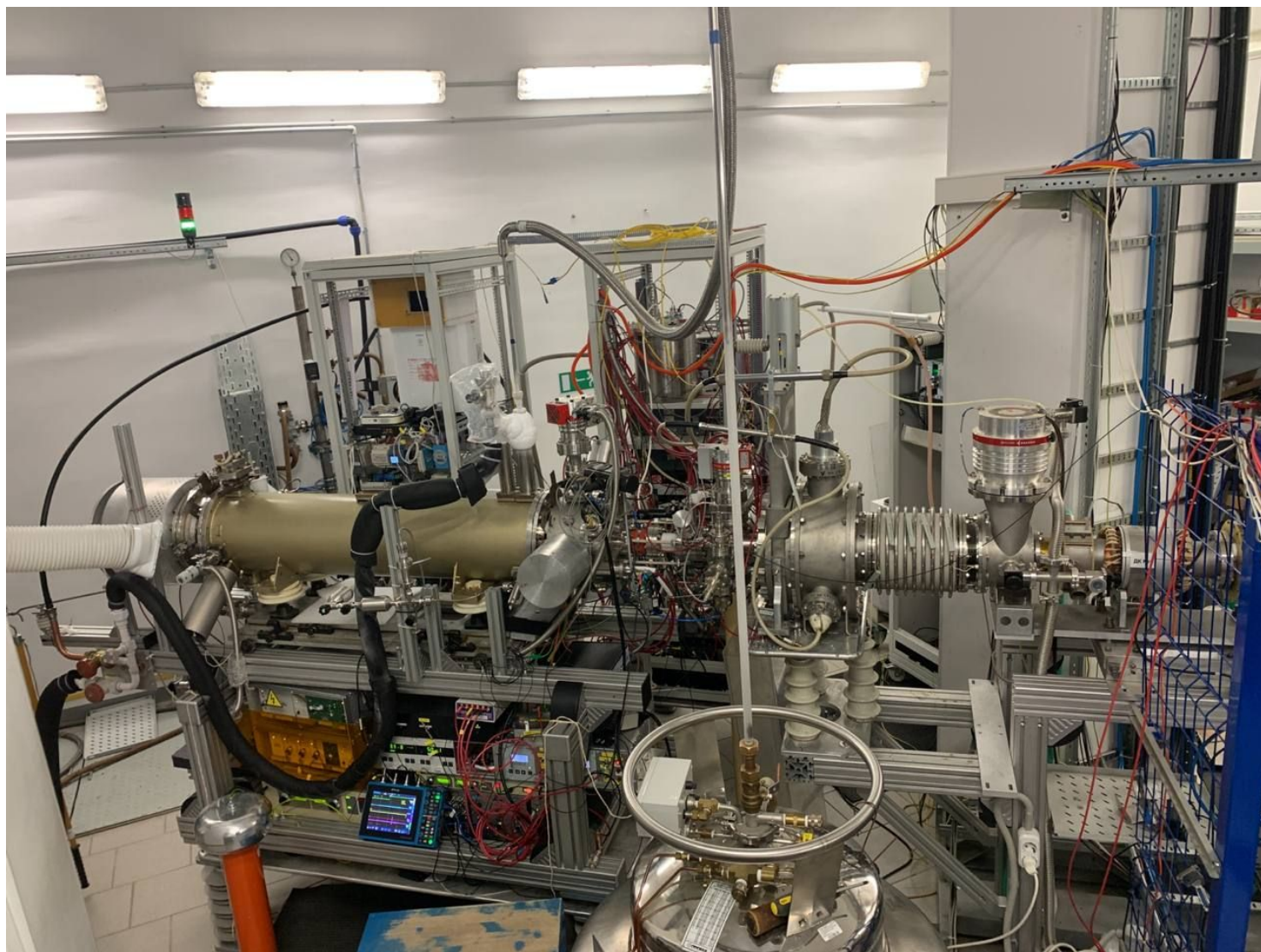


Рис. 1.1. Спектр ионов криптона, полученный времяпролетным методом. В скобках указано оптимальное время ионизации

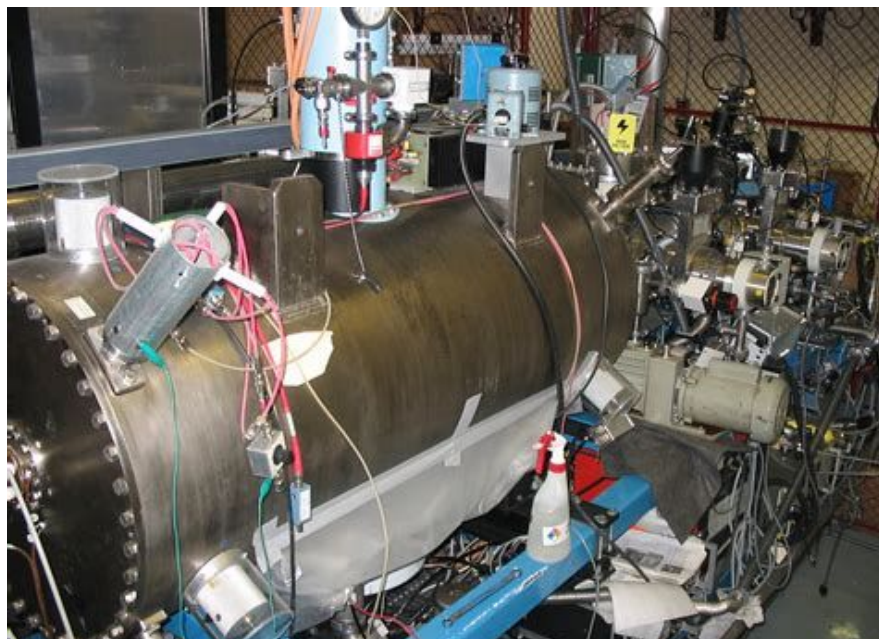
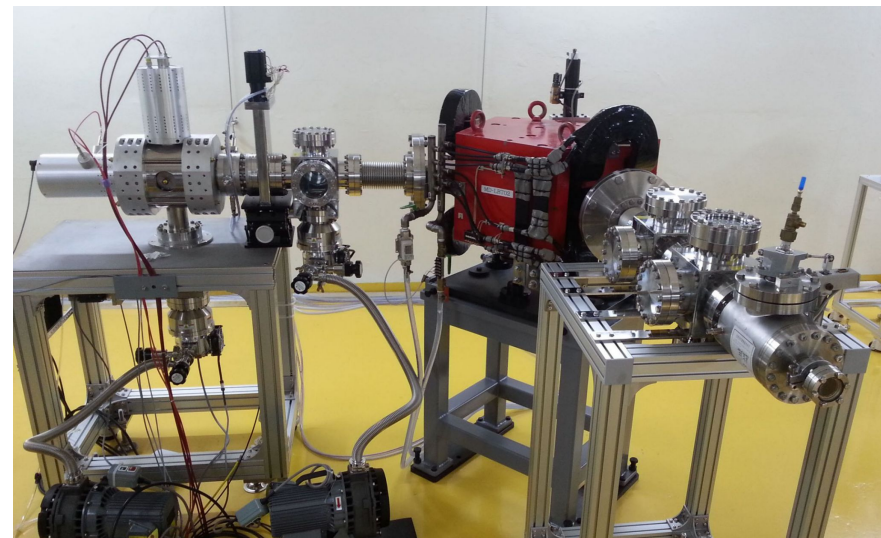
Крион-6Т 2018г.

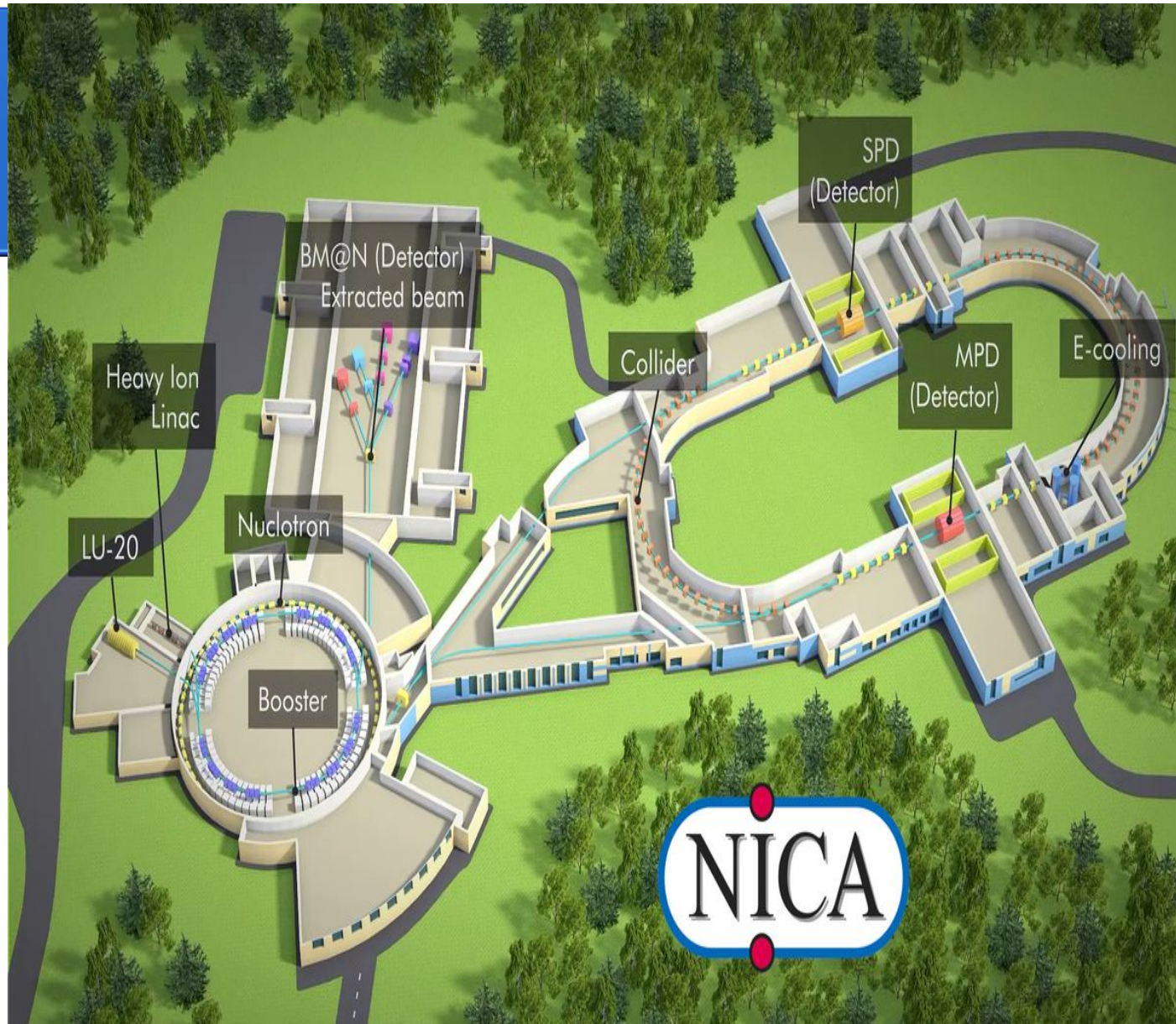


Крион-6Т 2022г



Источники в мире





Requirements for ion source:
 Au^{32+} 10^9 particles per pulse
Repetition rate 50 Hz (3 pulses to Booster, less 20ms)

Ионизация электронным ударом

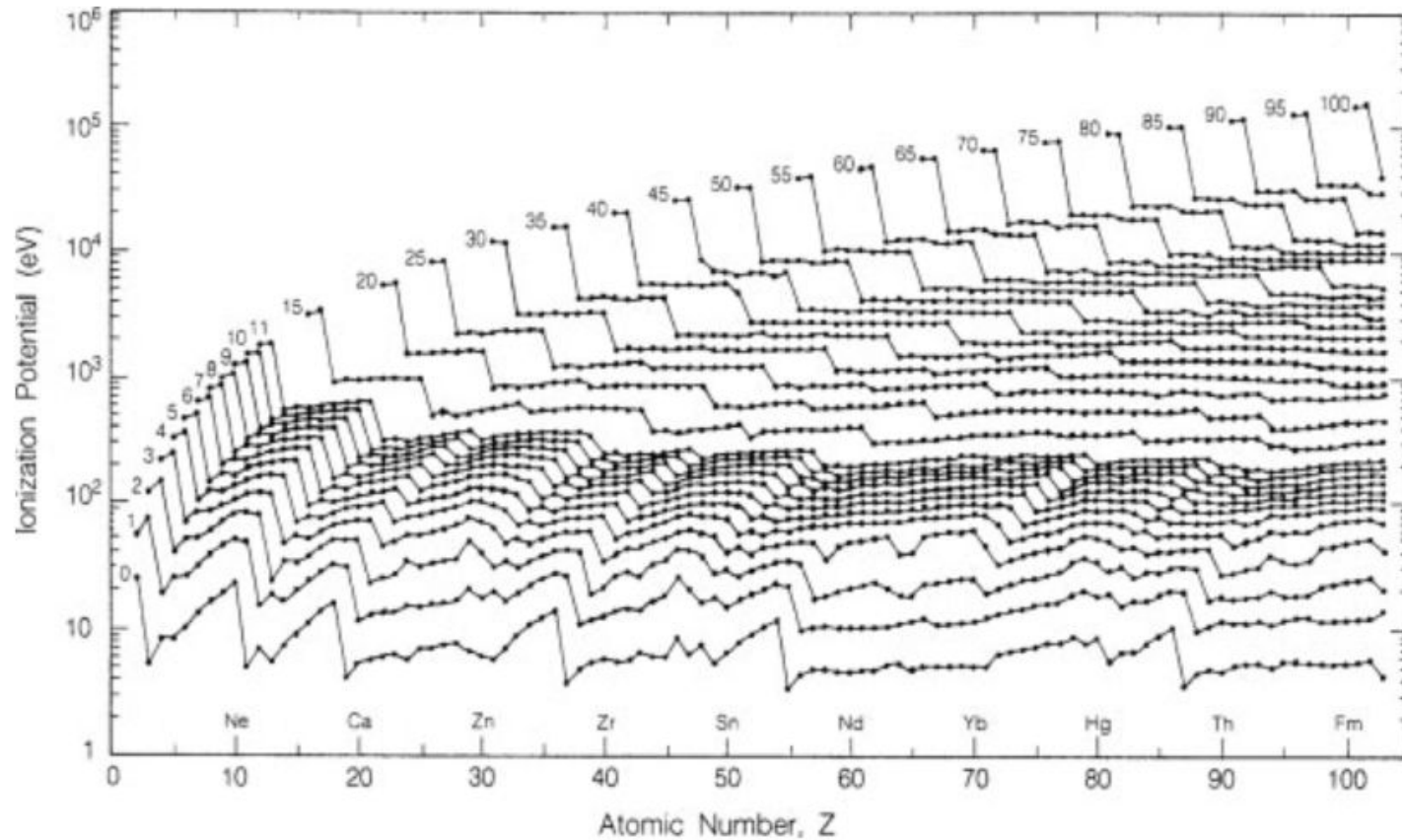


Figure 2.3 Ionization potentials for multiply charged ions of all of the elements [15].

Ионизация электронным ударом

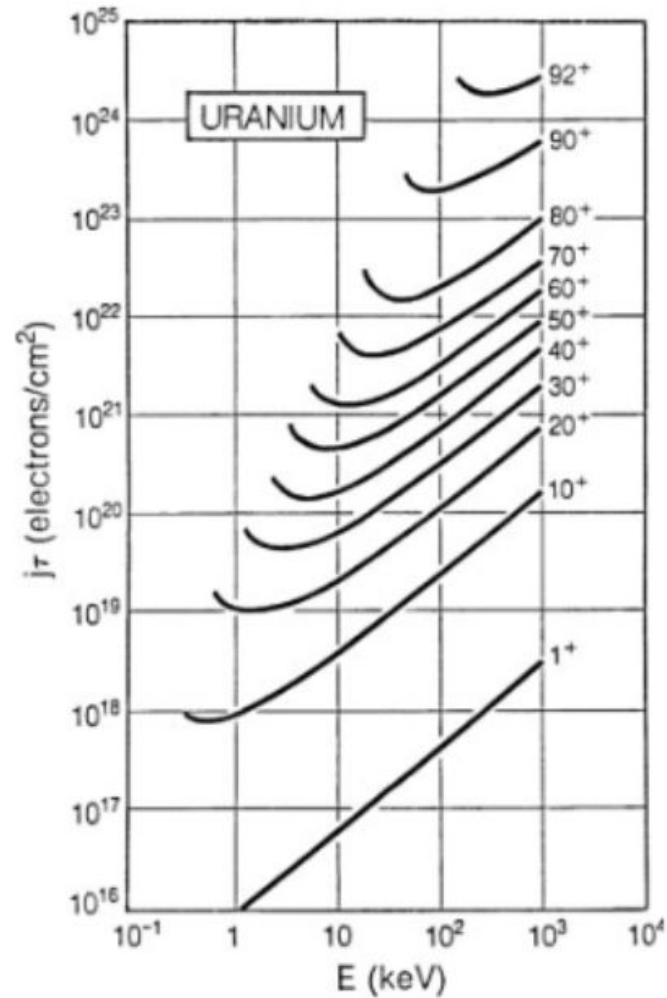
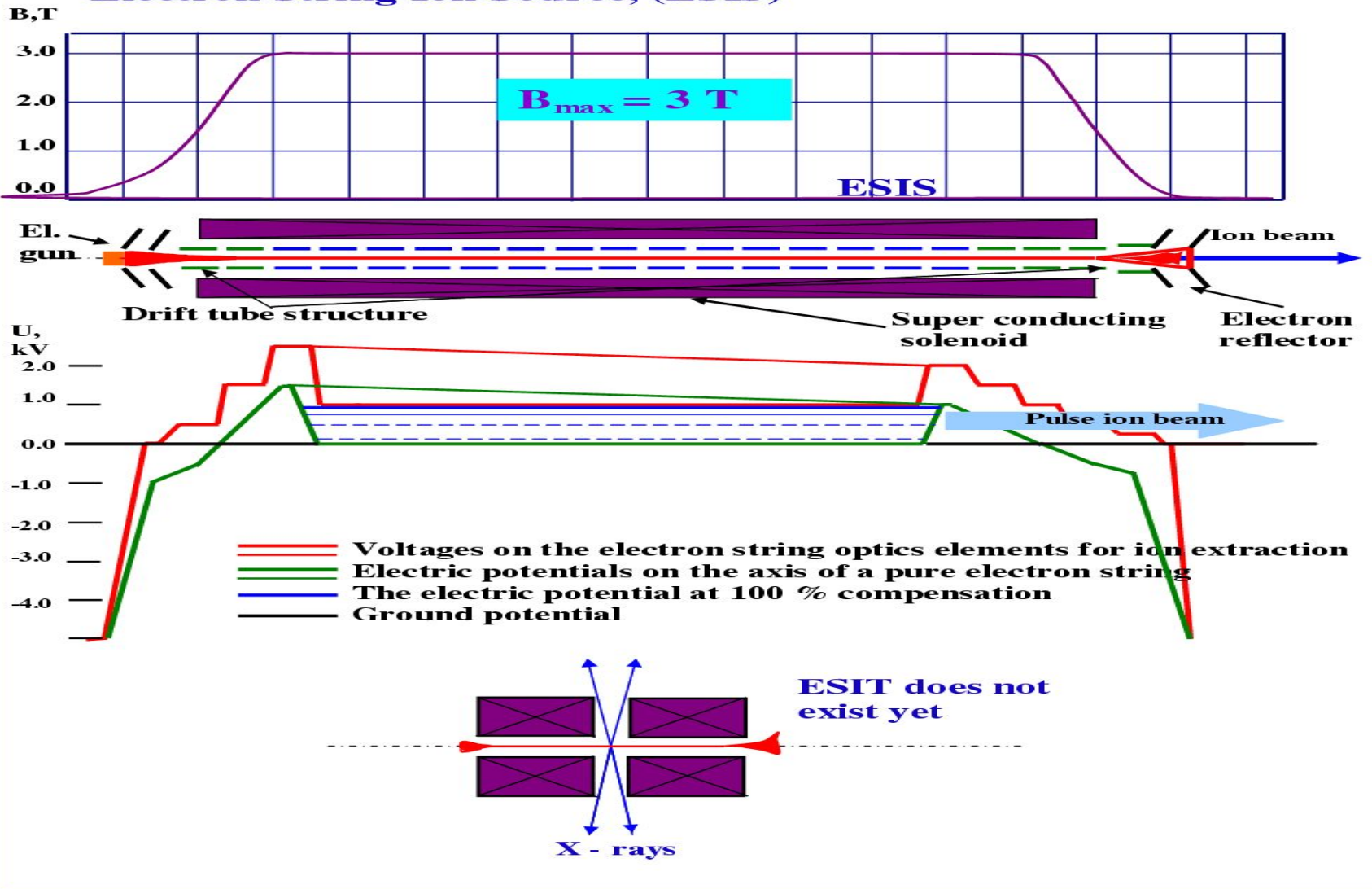


Figure 2.4 j_r needed to produce various charge states of uranium as a function of electron energy [18].

Electron String Ion Source, (ESIS)

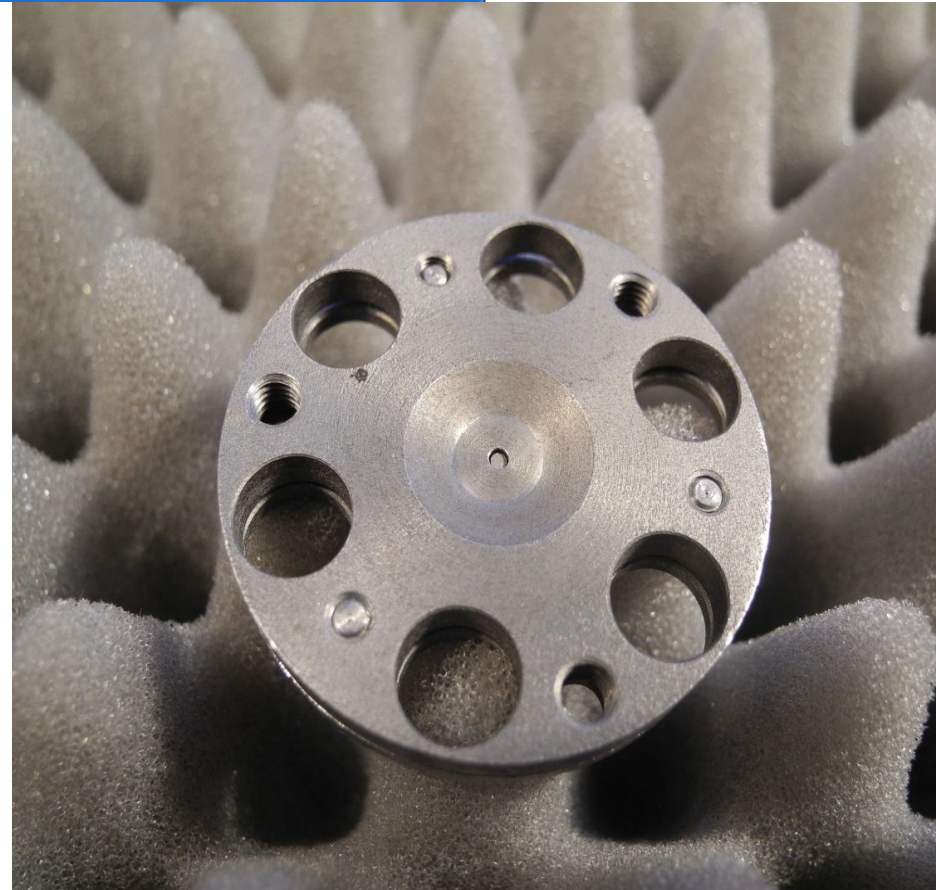
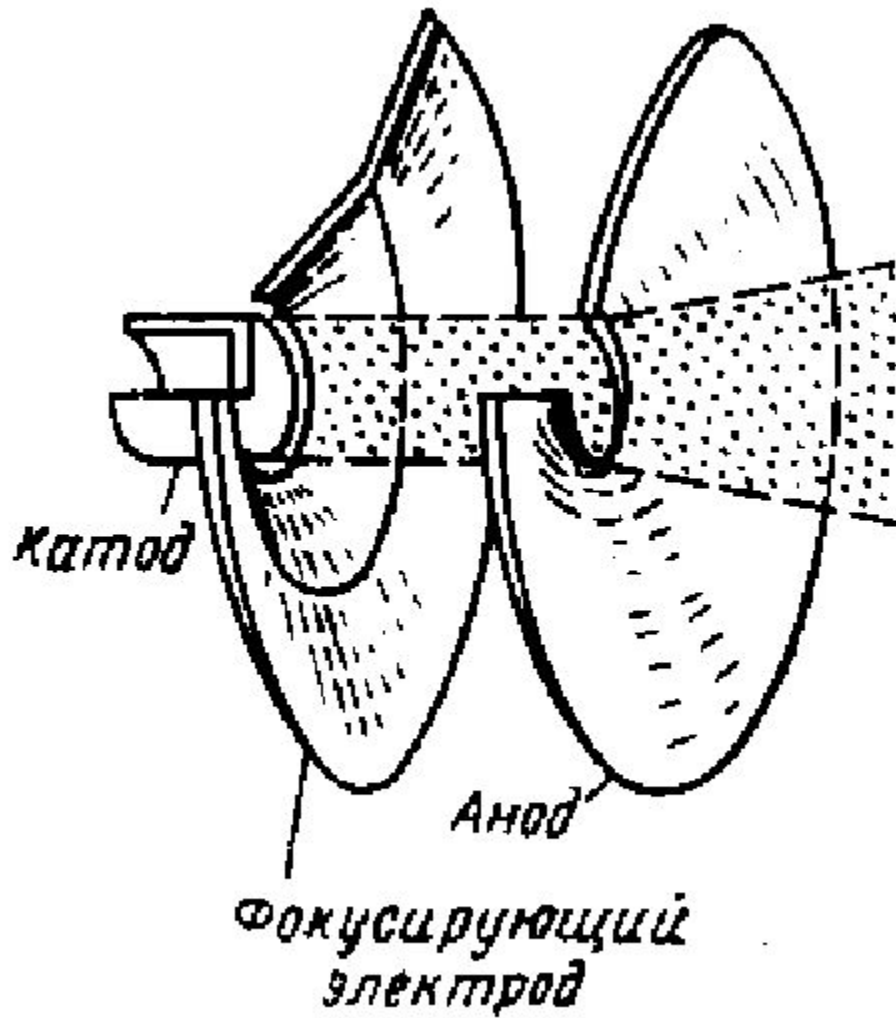


Термоэмиссионный катод

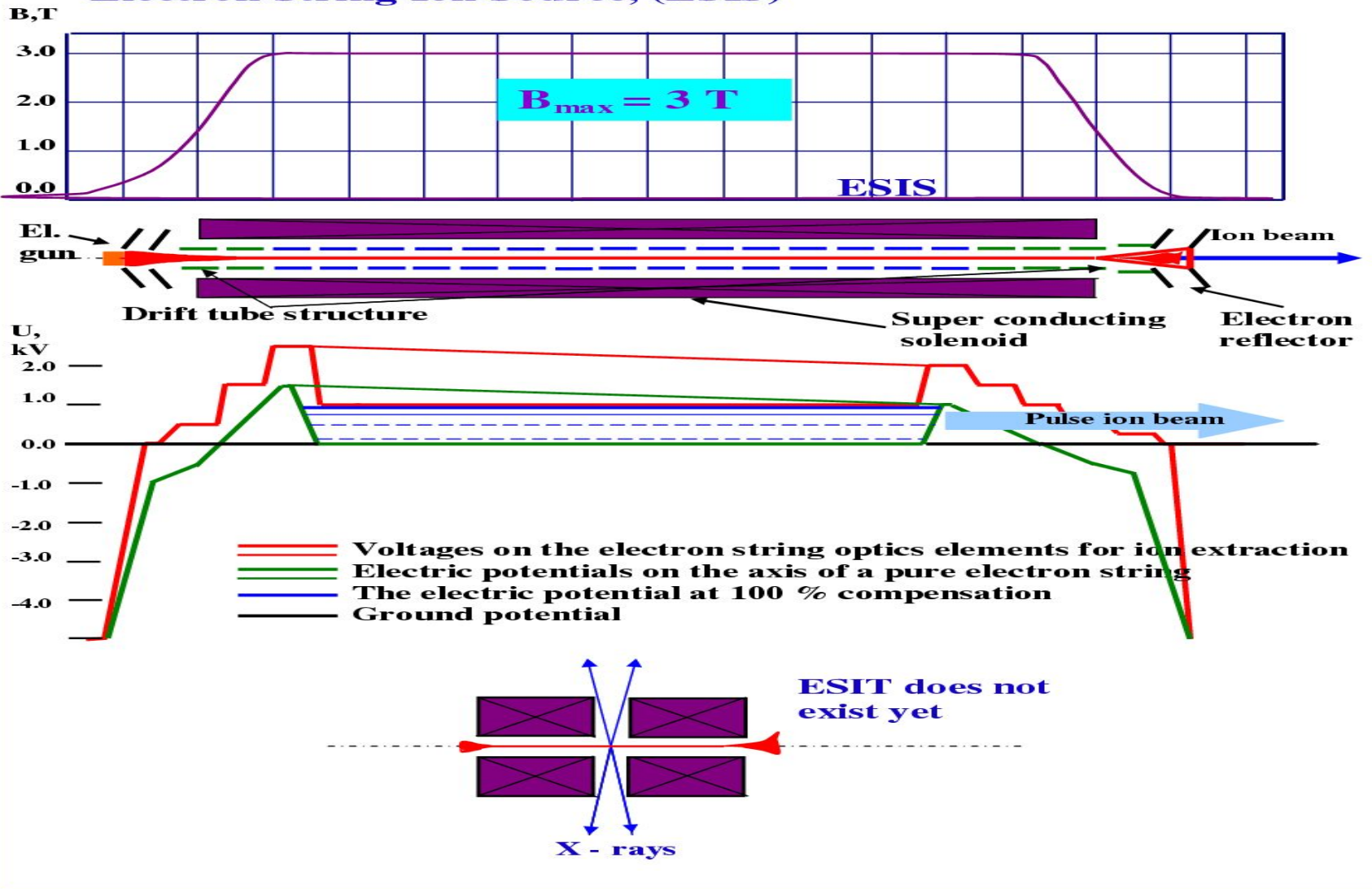
- material **IrCe**
- emission: **thermionic**
- small size **1.2 mm**
- emission current **6 mA**
- heating power **AC 1.5V 10A**



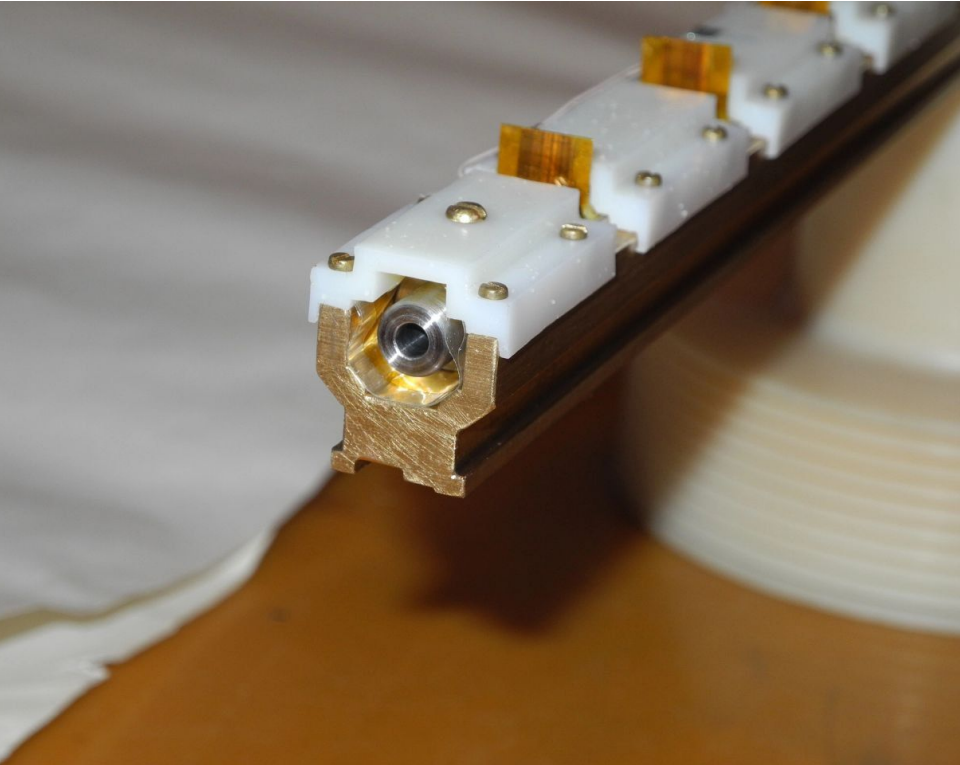
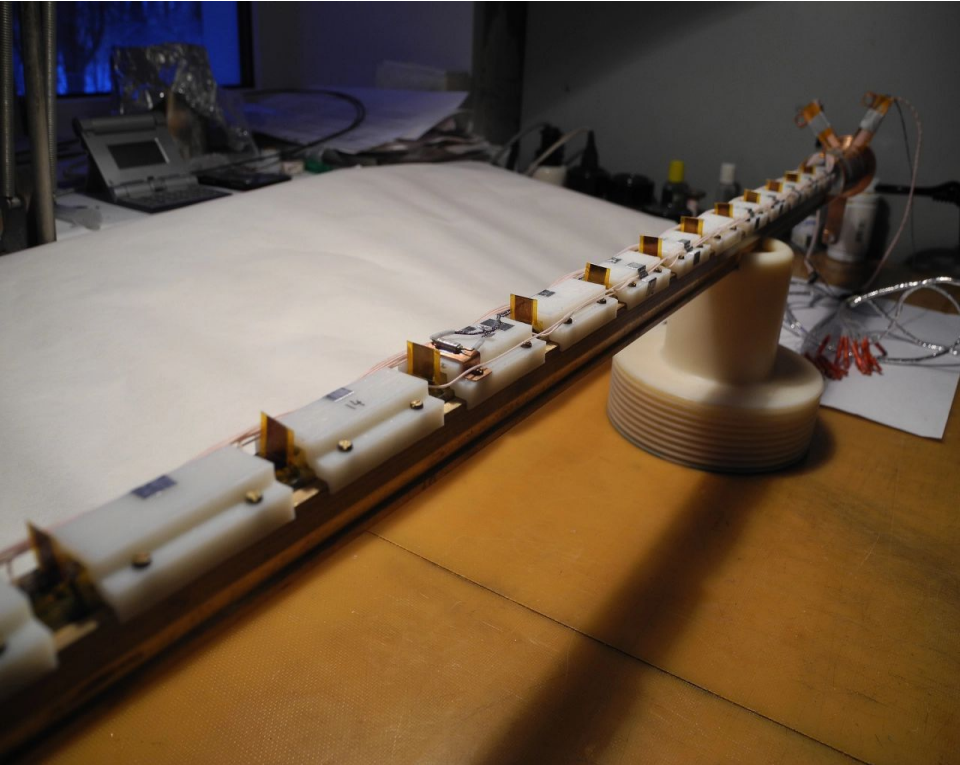
Электронная пушка



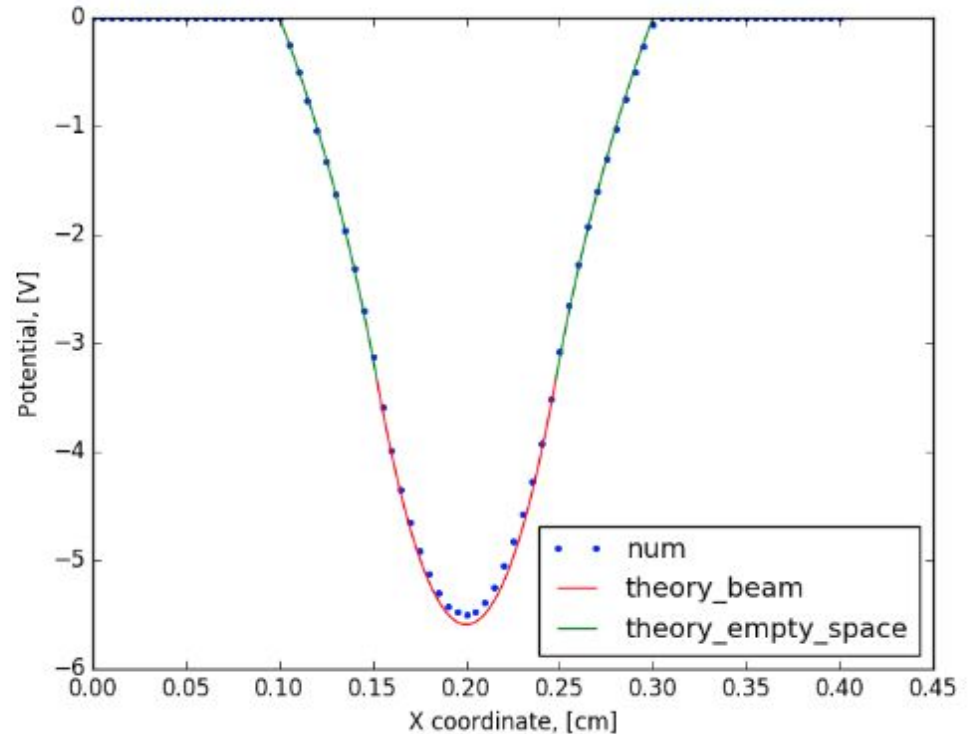
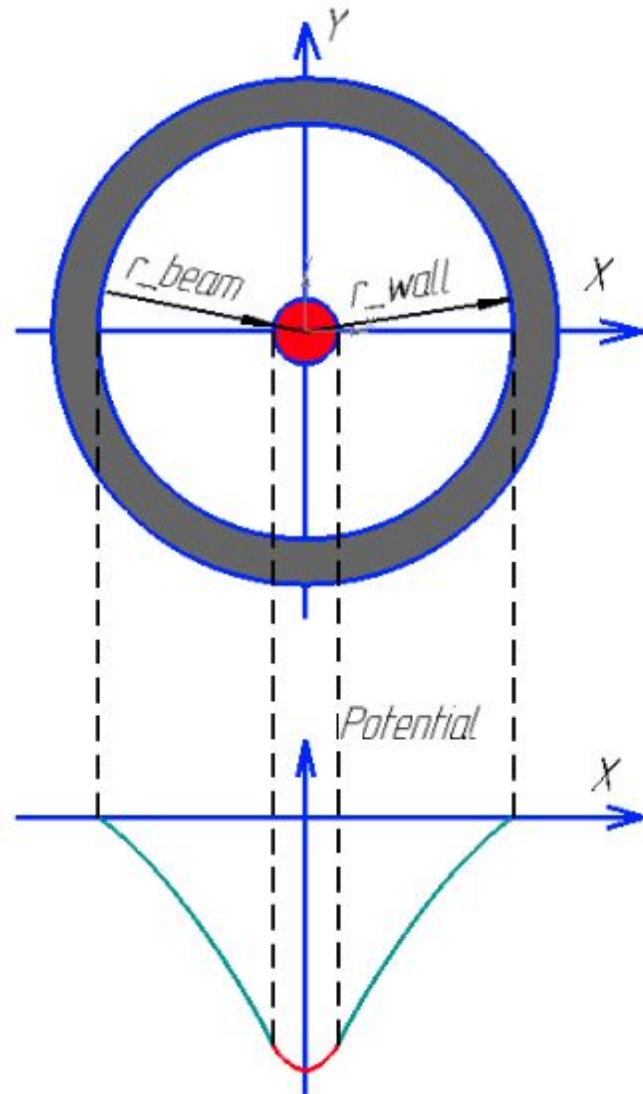
Electron String Ion Source, (ESIS)



Структура дрейфа



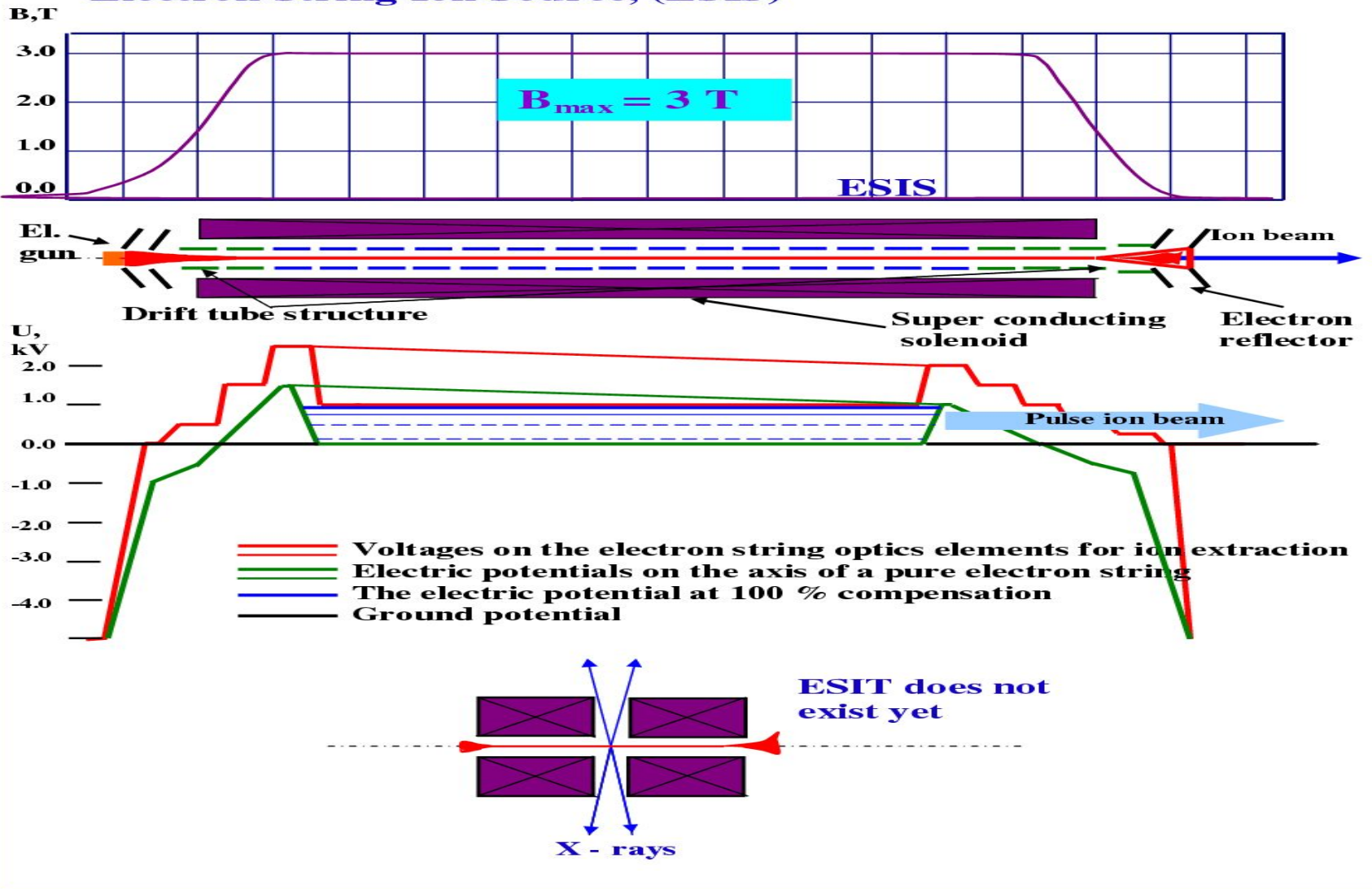
Potential well of cylindrical beam in tube



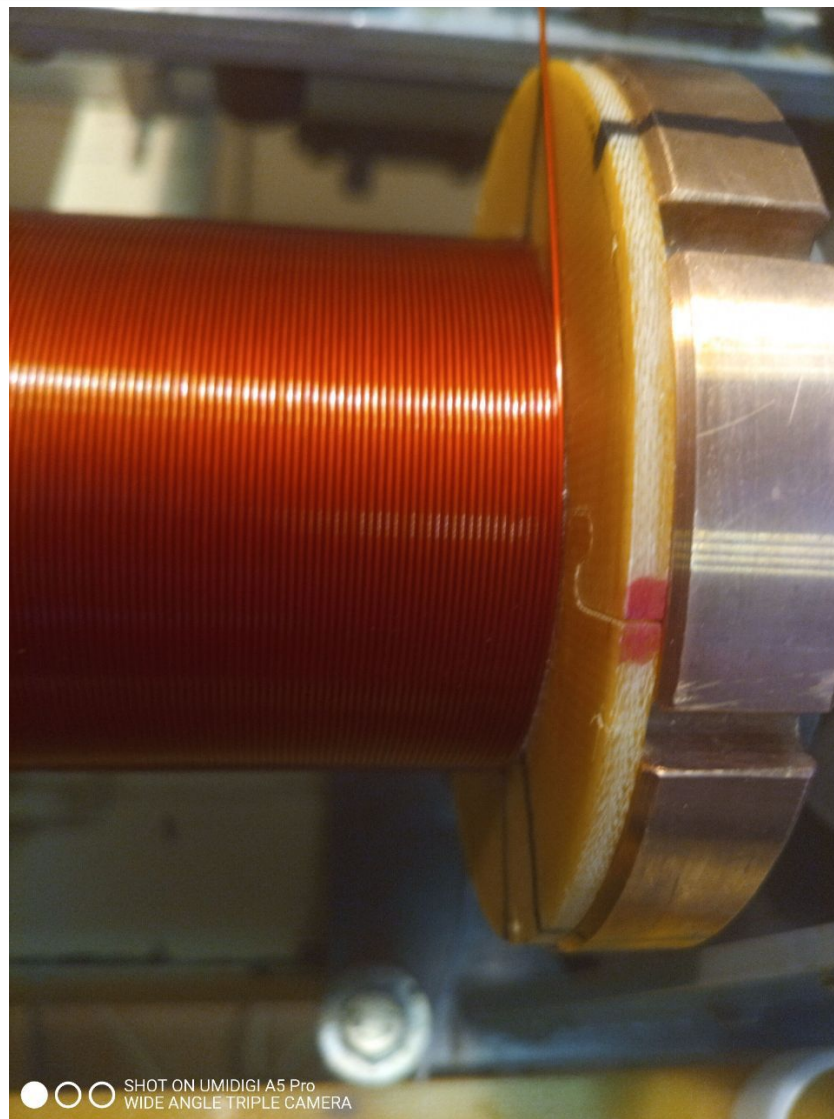
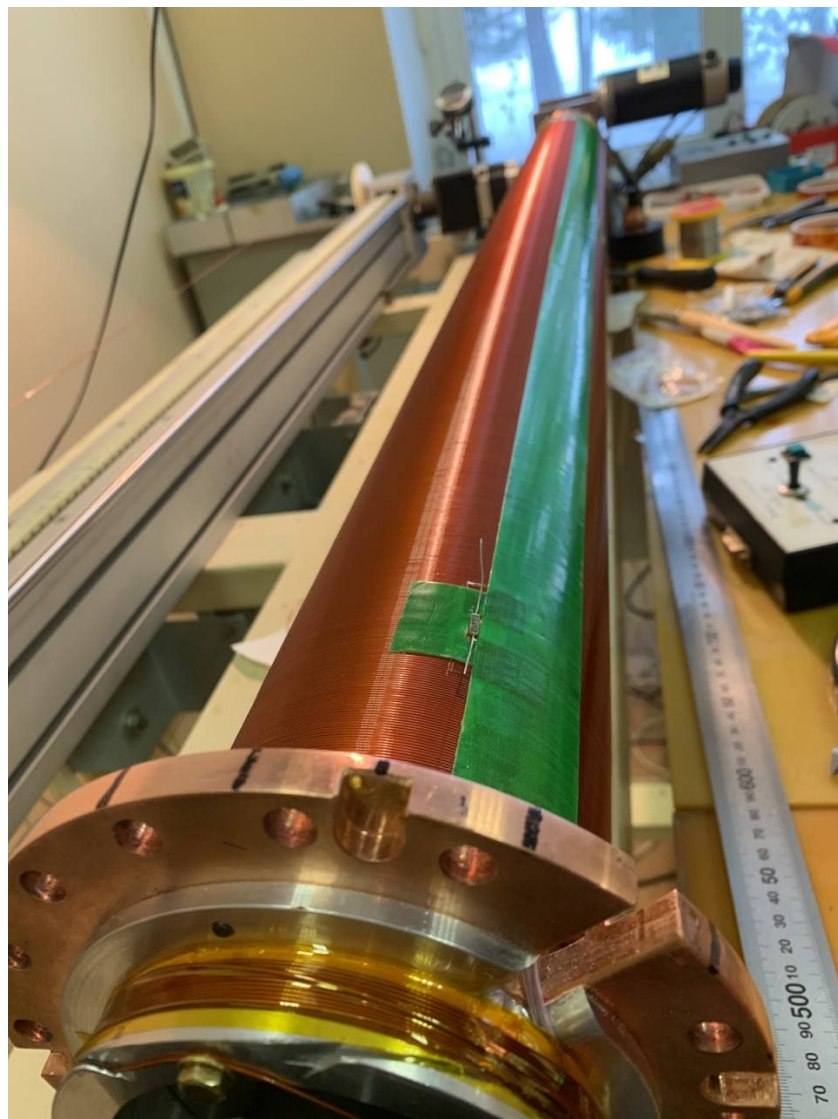
$$\phi_1(r) = U_0 + k[r^2 - r_{beam}^2 (1 - 2 \ln \frac{r_{beam}}{r_{wall}})], \quad 0 \leq r \leq r_{beam}$$

$$\phi_2(r) = U_0 + 2kr_{beam}^2 \ln \frac{r}{r_{wall}}, \quad r_{beam} \leq r \leq r_{wall}$$

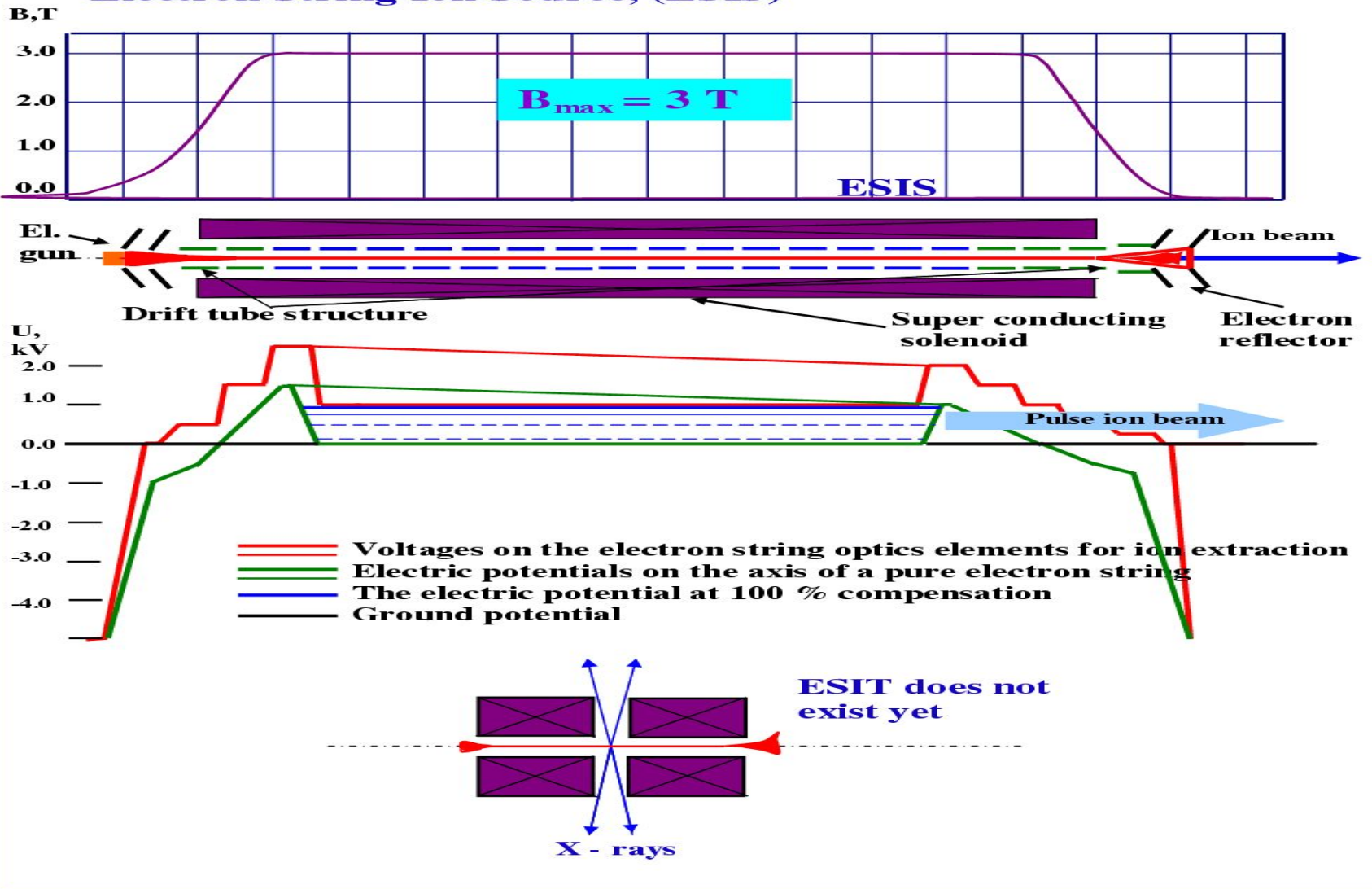
Electron String Ion Source, (ESIS)



Сверхпроводящий соленоид



Electron String Ion Source, (ESIS)



Система управления движением ионов



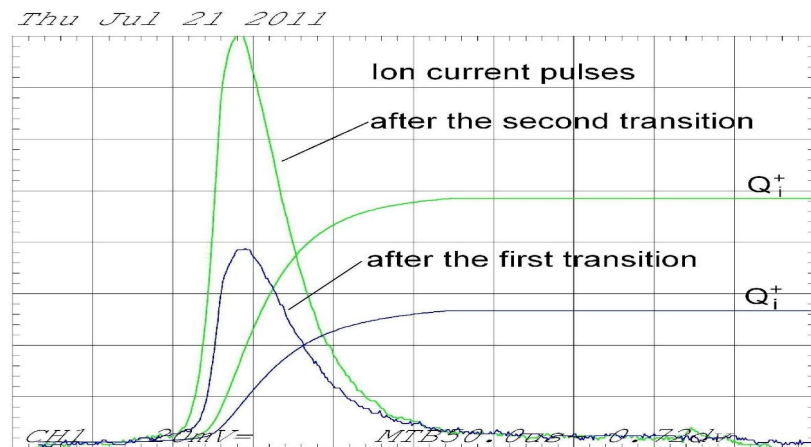
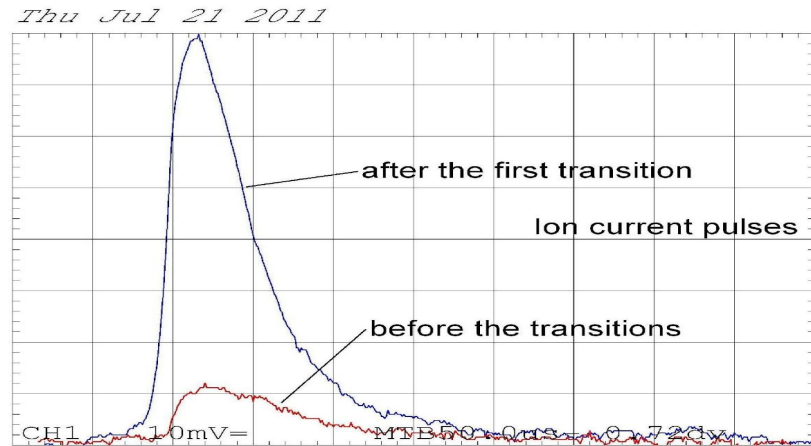
Электронная струна

Total ion current pulse before (red),

after 1-st transition (blue)

and after 2-nd transition (green)

to e-string state



- the j_{τ} ionization factor is the most important value giving information about the performance of the ESIS
- impossible to measure directly the electron string current, but possible to measure **effective j_{τ}** , using the extracted ions spectrum.

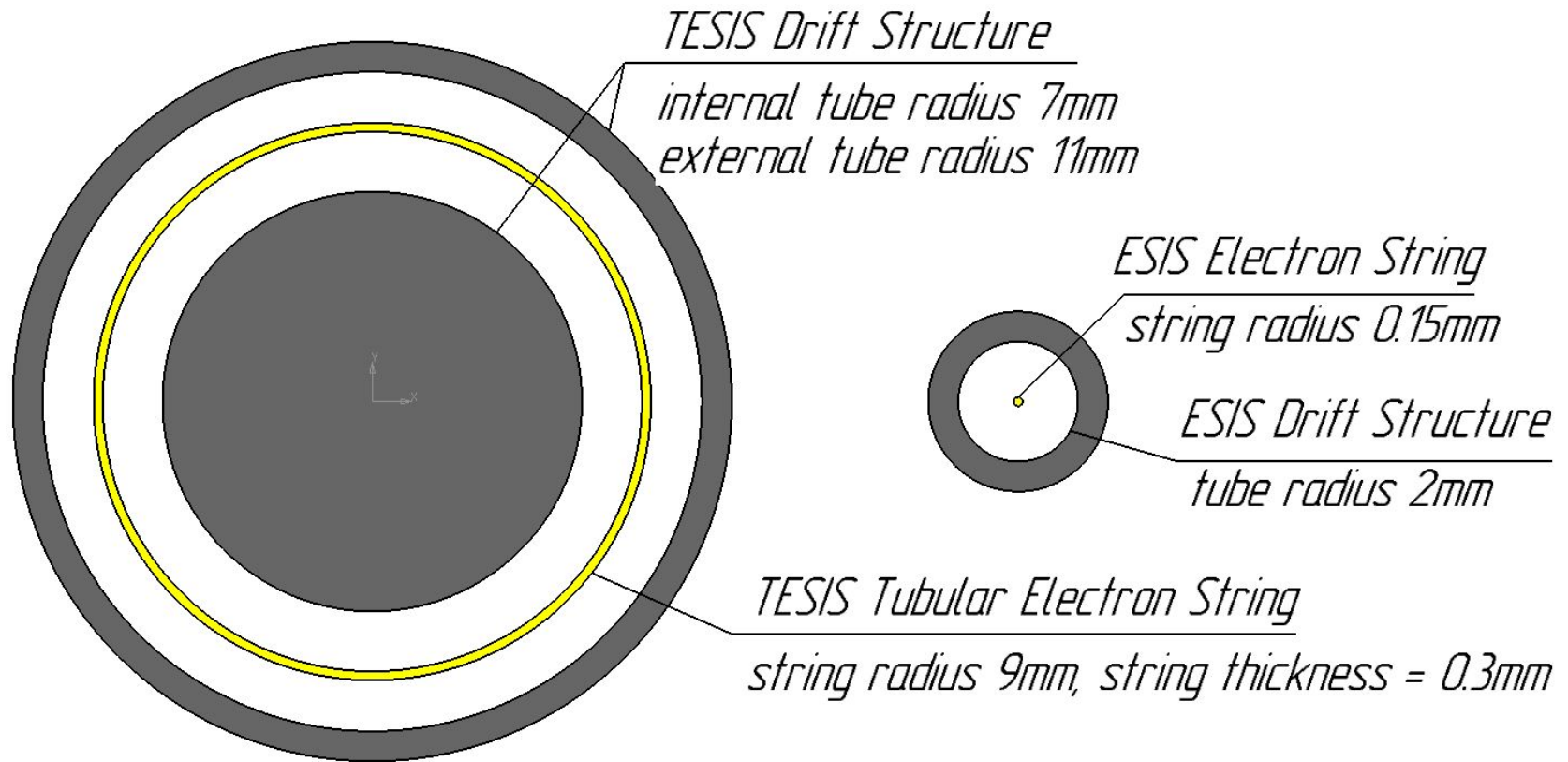
Ion specious	Effective electron string current density j , A/cm ²
Kr ¹⁵⁺	665
Kr ¹⁸⁺	591
Kr ^{24,6+}	847
Xe ^{23,2+}	1090
Xe ^{24,9+}	1579
Xe ^{25,4+}	1587
Tm ^{40,8+}	1092

Examples of number of particles per pulse and times of ionization for different ions

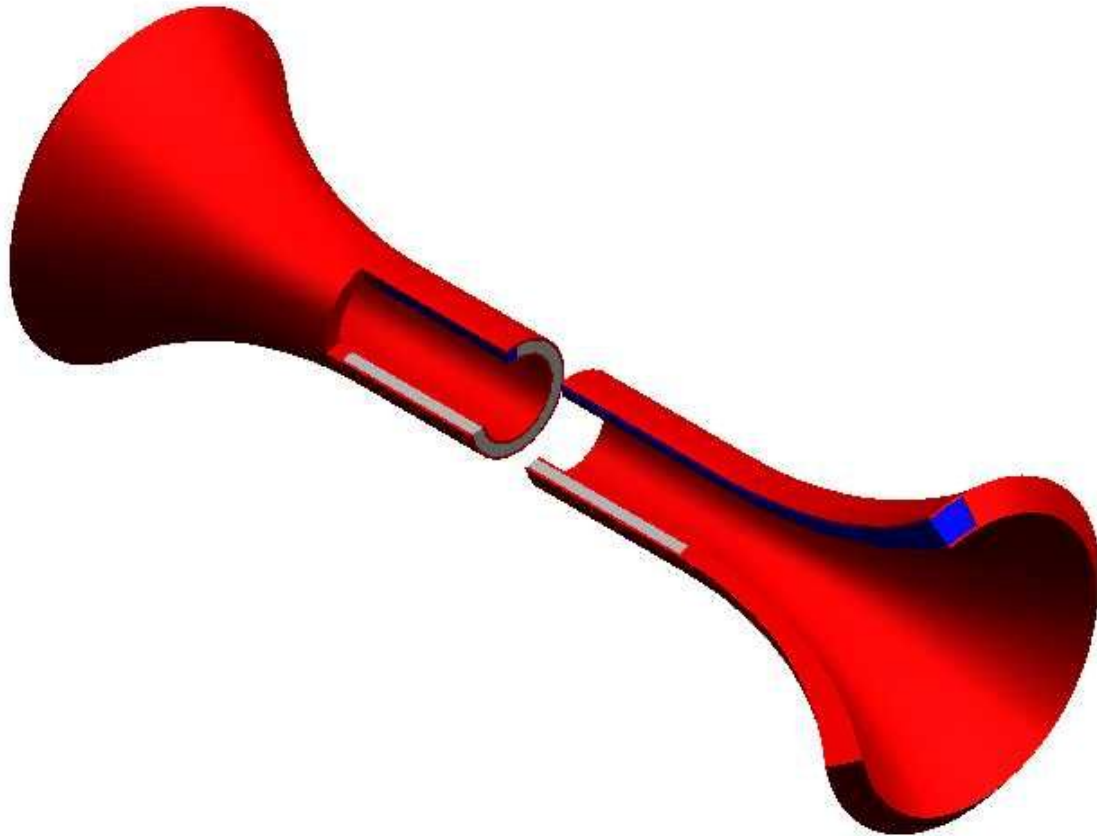
C ⁴⁺	7x10 ⁹	-
Xe ⁴²⁺	5x10 ⁹	350 ms
Xe ³²⁺	-	40 ms
Tm ⁵⁰⁺	3x10 ⁷	-
Au ³³⁺	-	30 ms

The new KRION-6T ion source has much higher effective j (up to 1600 A/cm²) in comparison with the KRION-2 which had only 200 A/cm². Another typical EBIS devices have only 100 - 300 A/cm².

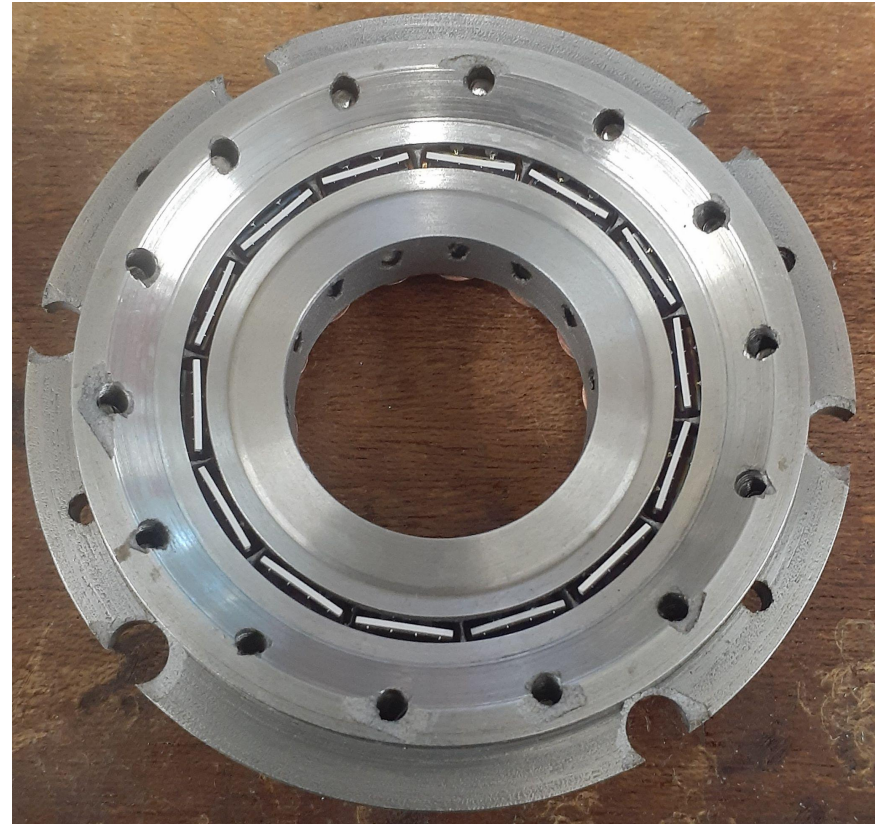
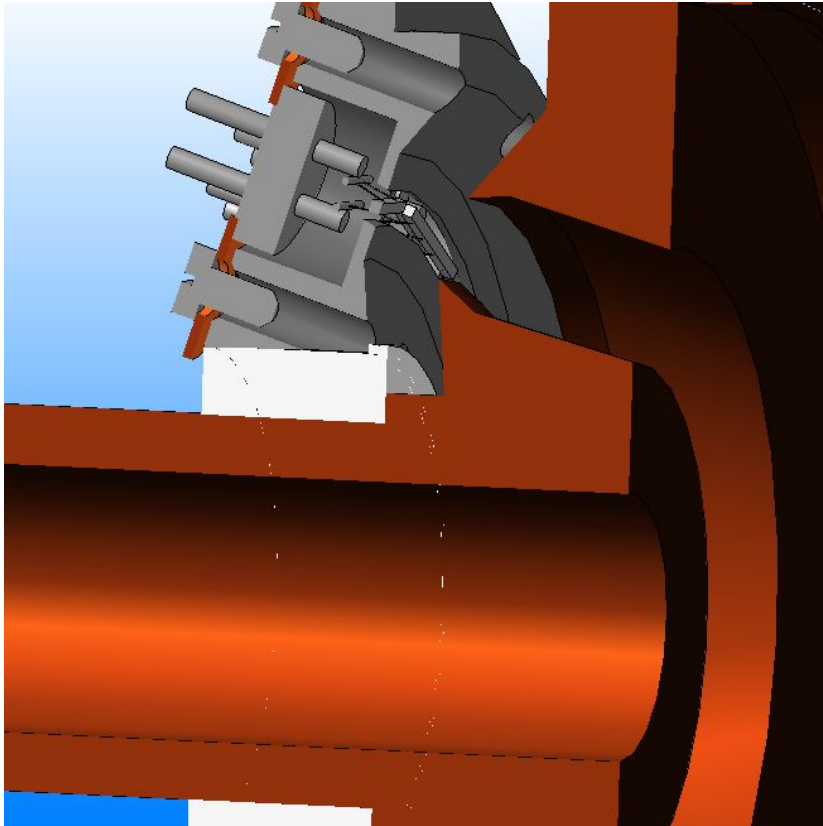
Трубчатый источник



Electron beam volume

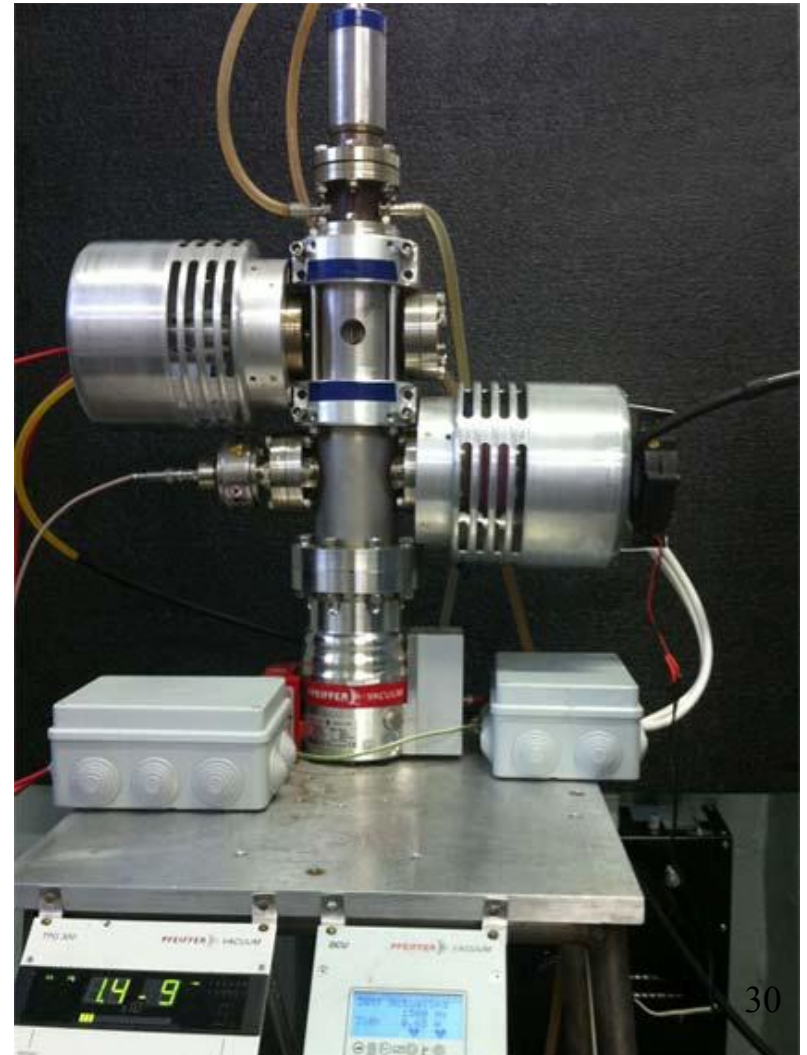
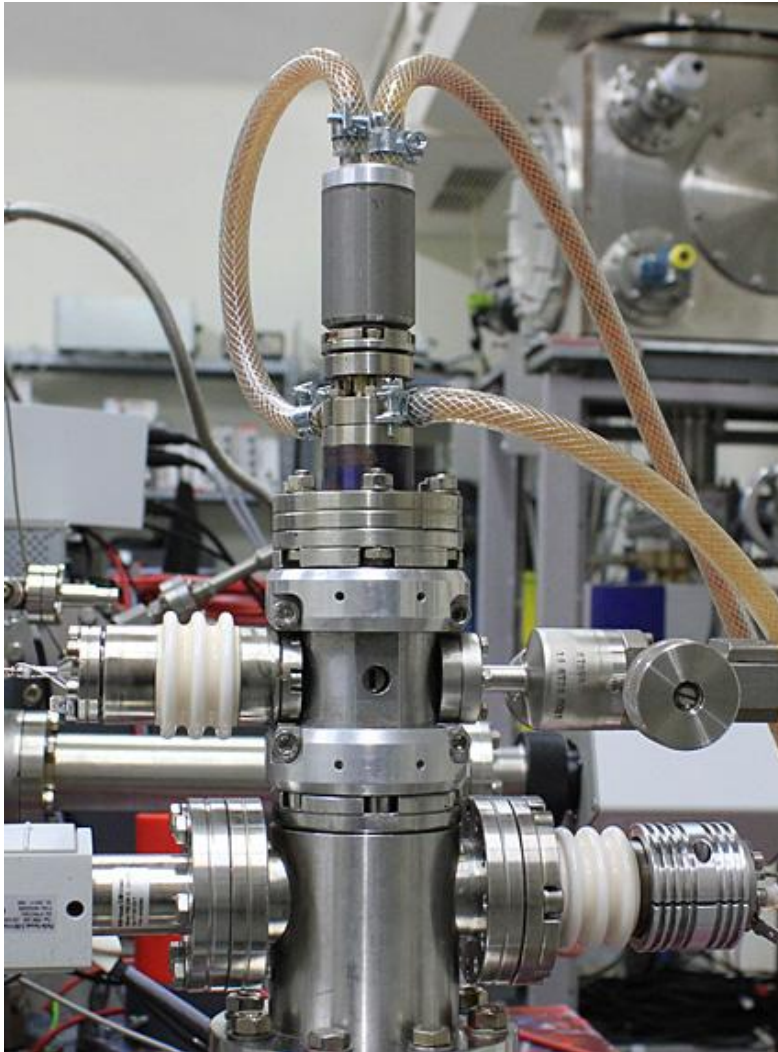


Electron gun

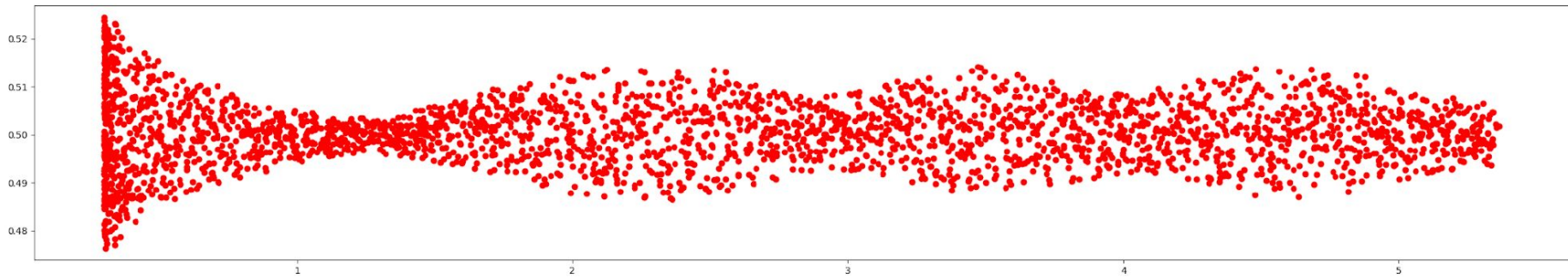
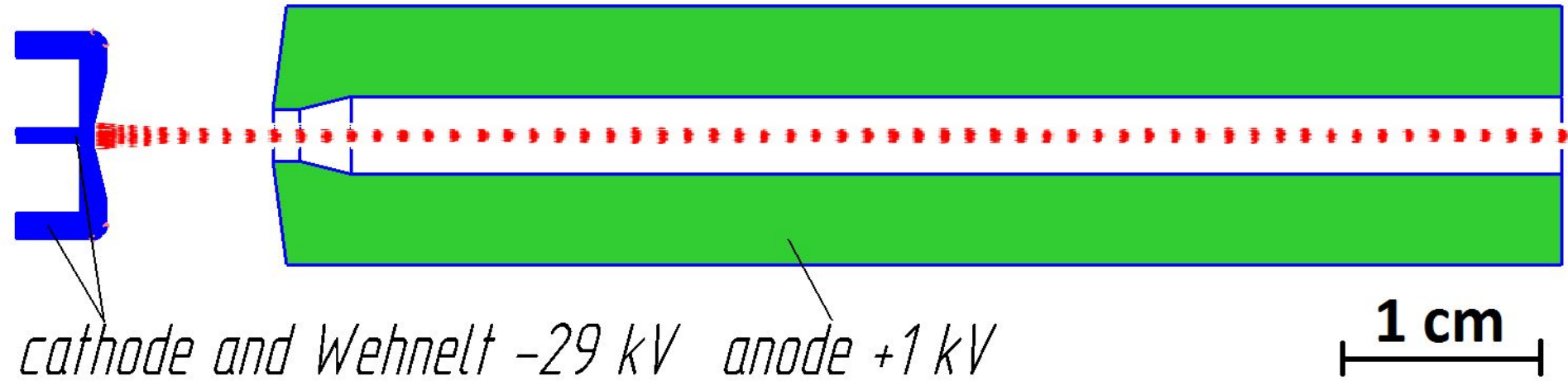


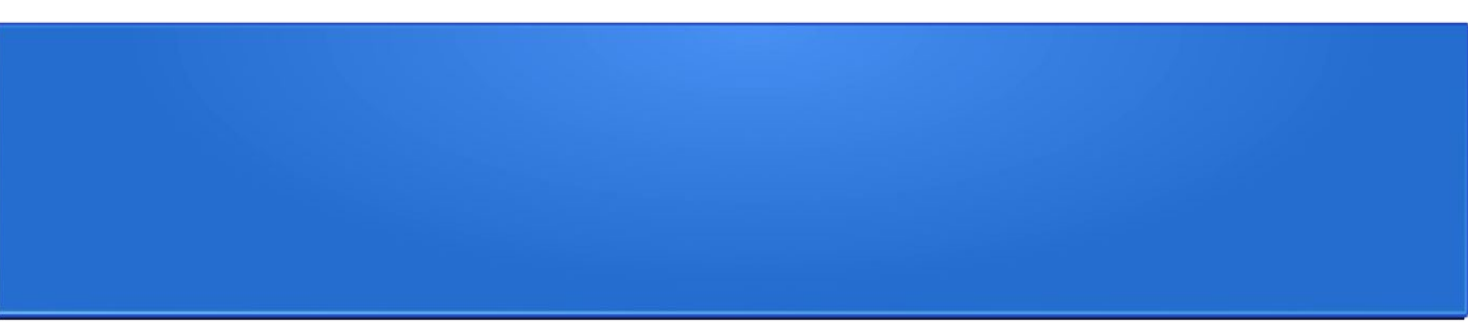
14 IrCe cathodes, ring diameter = 40mm

Main Magnetic Focus Ion Source



Results





Thank you for attention